429 高張力鋼のSCC特性と破壊力学的評価

新日本製鐵㈱ 製品技術研究所

谷口至良 〇 小林順一

1 緒 言

応力腐食割れ(SCC)は、海洋構造物材、タンク材、パイプ材において、重要問題になっており、現在、破壊力学的アプローチにより、一部の腐食環境中では、そのマクロ的特性が解明されつつあり、有効な評価方法と考えられている。本報では、著者らが考案した高剛性枠負荷装置を用いて、80キロクラスの高張力鋼を供試材にして、 H_2 S飽和(NACE)液中でのSCC特性に与える力学的条件の影響について、検討を加えた結果を報告する。

2 供試材

本報告で用いた供試材は実験室的100kg溶製鋼から、板厚15mmに圧延し焼入、 焼戻しの熱処理を施したものである。化学成分及機械的性質を表1に示す。表からわ かるように、80キロクラスの高張力鋼である。

3 試験片及実験装置

武験片形状は図1に示されているような 一 c 板厚10mmの修正WOL試験片であり,供 対 の 板厚中央部から切り出し加工したものである。なお,切欠は0.2mm巾の機械切欠であり,圧延ロール方向と直角に入れた。また,実験装置は図2に示されているような構造のものであり,高剛性の枠とボルト締メ負荷治具により,試験片に負荷が加わるようになっ

荷治具により、試験片に負荷が加わるようになっている。負荷治具にはロード・セルが組み込まれており、又、試験片のエッヂ・マウスにクリップ・ゲージを装着して、時々刻々の荷重・変位を記録し、それをもとに、破壊力学的手法により、クラック進展長及応力拡大係数 K 値を求めるという方法で解析を行なった。1)

4 腐食環境条件

腐食環境は 5% NaC1+0.5%酢酸+飽和 H_2S の言わゆる NAC E溶液中で行なった。本実験中 H_2S 濃度は,2500~3000ppm,pHは 2.8~3.4,液温は 22~25℃に制御されていた。

5 実験結果及考察

5-1 亀裂進展速度と応力拡大係数 K との関係 図 3 に,試験片が受ける荷重一変形の履歴の例を示す。

表 1 化学成分および機械的性質 Chemical Composition (wt.%)

		Mn	P	5	Cu	Ni	Cr	٧	Mo	В
HT80 0.12	0.25	0.87	0.009	0.003	0.24	1.02	0.52	0.05	0.40	0.0011

	Mechanical Properties							
	Tensil	Charpy						
	$\sigma_y(kg/mm^2)$	σ _B (kg/mm²)	El.(%)	vE at -15℃				
HT 80	80.0	84.0	25.0	23.0				

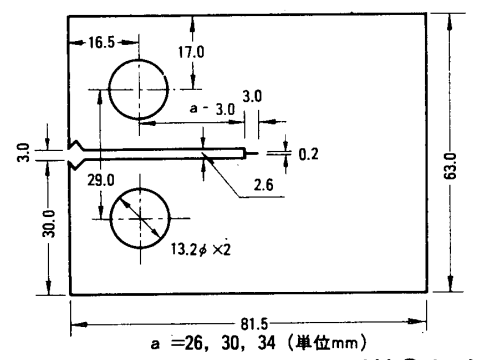


図 l 試験片形状(修正WOL) & (Clip Gauge)

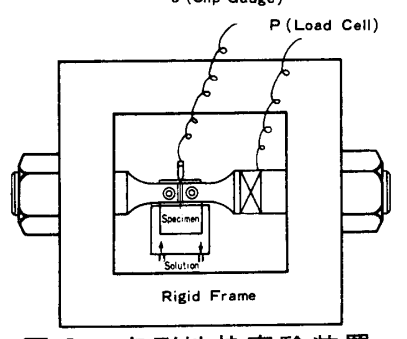


図 2 高剛性枠実験装置

試験片の代表変形として、エッヂ・マウスの変位Vょを とると、図中、実線で示されるような荷重 - 変位関係を たどる。まず、初期負荷によって、0点からA点に、初 期亀裂長によって決まる線型関係線上を移動し、 SCC 発生により、今度は、高剛性枠の剛性によって決まる線 上AB線上を,その材料のSCC 特性に応じた時間関係 を満足しつつ移動する。亀裂停止点Bにおいて、負荷荷 重を解放すると、理論的には、0点に戻るわけであるが、 亀裂内部に腐食生成物が堆積するため, 開口変位が残留 する点Cに移動する。 SCC 特性は, AB 線上の時間変 化から解析される。図4に、このようにして求めた応力 拡大係数K値と亀裂進展速度aとの関係の例を示す。図 より,初期 K 値を,負荷荷重や初期亀裂長を変えること により変化させても、亀裂停留のK値, すなわちK_{iscc} 値は $70\sim92$ kg・mm⁻²におさまっている。しかし、 a ~ K 関係は、従来、それ程、厳しくない環境中での実験 結果とは異なっており、aが異常落下や上昇している現 象が見られる。これは,一つにはNACE 液という厳し い環境のため、亀裂先端のミクロな特性がマクロ特性に 大きく影響していると考えられる。

5-2 初期 K 値と潜伏時間

一般に、人工海水のような比較的おだやかな腐食環境では、SCC発生前に潜伏時間が存在するが、本実験では、腐食環境下に15分程度浸漬した後、負荷を加えた。しかした。しかした。しかした。しからでは、海合には、初期K値によが、確認されたものである。であるが、初期K値が高い程、潜伏時間が短からないる。ことが表に関係して、無負荷に、がある。ことが表が短時間に、動中の場合は、形成されたがある。と端の単性域に水素が浸入し、割れを誘発さのに時間がかかることが考えられる。

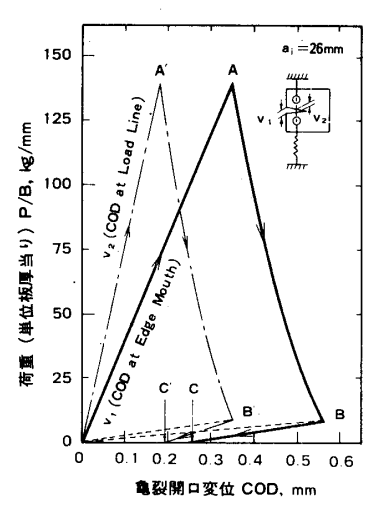


図3 荷重と亀裂開口変位の関係

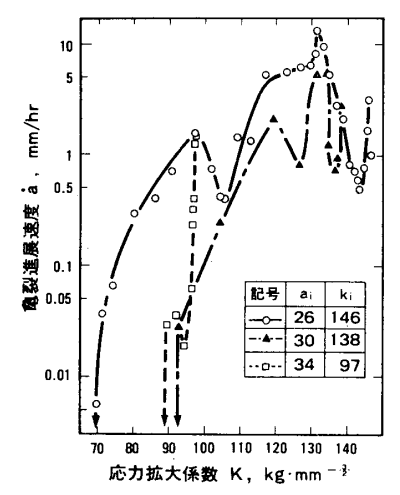


図4 亀裂進展速度と 応力拡大係数の関係

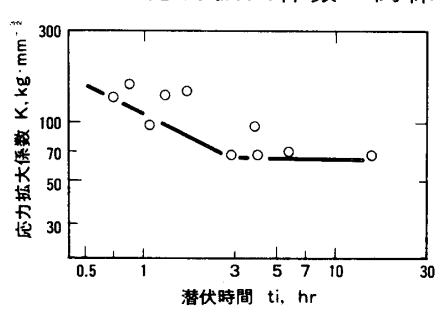


図5 K値と潜伏時間

6 結 言

高張力鋼のSCC特性を,新たに考案した実験装置を用いて,検討した結果,発生,進展の挙動がよく把握されることが明らかになった。

7 参考文献

谷口他:鉄と鋼ル4. Vol. 65 (1979) p. 408